

# مجله علوم و صنایع غذایی ایران

سایت مجله: [www.fsct.modares.ac.ir](http://www.fsct.modares.ac.ir)

مقاله علمی\_پژوهشی

## مقایسه ترکیبات فنولی و فعالیت ضد اکسایشی دو رقم انگور رشه و قزل اوزوم

لعیا رضازاد باری<sup>۱</sup>، علیرضا قنبری<sup>۲\*</sup>، رضا درویش زاده<sup>۳</sup>، موسی ترابی گیگلو<sup>۴</sup>، حامد دولتی بانه<sup>۵</sup>

- ۱- دانشجوی دکتری تخصصی فیزیولوژی و اصلاح درختان میوه، گروه علوم باگبانی، دانشکده کشاورزی و منابع طبیعی، دانشگاه محقق اردبیلی، اردبیل، ایران.
- ۲- دانشیار، گروه علوم باگبانی، دانشکده کشاورزی و منابع طبیعی، دانشگاه محقق اردبیلی، اردبیل، ایران.
- ۳- استاد، گروه تولید و رئیسک گیاهی، دانشکده کشاورزی و منابع طبیعی، دانشگاه ارومیه، ارومیه، ایران.
- ۴- استادیار، گروه علوم باگبانی، دانشکده کشاورزی و منابع طبیعی، دانشگاه محقق اردبیلی، اردبیل، ایران.
- ۵- دانشیار، مرکز تحقیقات و آموزش جهاد کشاورزی استان آذربایجان غربی، ارومیه، ایران.

### چکیده

### اطلاعات مقاله

تاریخ های مقاله :

تاریخ دریافت: ۹۹/۰۵/۲۴

تاریخ پذیرش: ۹۹/۰۷/۱۳

کلمات کلیدی:

کشت بافت،

متابولیت‌های ثانویه گیاهی،

افزودنی طبیعی،

انگور

امروزه استفاده از تکنیک کشت بافت در تولید متابولیت‌های ثانویه گیاهی، مانند ترکیبات فنولیک، به عنوان افزودنی غذایی طبیعی در صنایع غذایی بسیار گسترش یافته است. هدف پژوهش حاضر بررسی و مقایسه محتوای ترکیبات فنولی و فعالیت آنتی اکسیدانی انگور ارقم رشه و قزل اوزوم می‌باشد که توسط کشت بافت در شرایط آزمایشگاهی تولید شدند. برای این منظور جوانه انتهایی ارقم انگور در محیط کشت موراشیگ - اسکوگ کشت داده شد تا گیاهچه کامل ایجاد گردد. سپس عصاره مтанولی از برگ‌های سالم انگورها تهیه شد و برای انجام آزمون‌های تعیین ترکیب پلی فنولی با استفاده از کروماتوگرافی مایع با عملکرد بالا همراه با آشکارساز فرابینفس، گروه‌های عاملی با استفاده از طیف سنجی تبدیل فوریه فروسرخ، محتوای فنول کل، فلاونوئید کل، آتوسیانین کل، کاروتونوئید کل، میزان اسید آسکوربیک، میزان مهار رادیکالهای آزاد ۲،۲-دی فنیل-۱-پیکریلیدرازیل (DPPH) و هیدروکسیل ( $\text{OH}^-$ ) استفاده گردید. نتایج نشان داد میزان ترکیبات فنولی کل، فلاونوئید کل، آتوسیانین کل و کاروتونوئید کل عصاره‌های مtanولی رقم رشه به ترتیب  $50/35 \pm 0/10$ ،  $29/72 \pm 0/05$ ،  $10/41 \pm 0/20$ ،  $1/82 \pm 0/50$  و  $0/94 \pm 0/42$  میلی گرم بر گرم و در رقم قزل اوزوم به ترتیب  $20/76 \pm 0/15$ ،  $23/06 \pm 0/31$  آسکوربیک، مهار رادیکالهای آزاد DPPH و  $\text{OH}^-$  در عصاره‌های مtanولی برگ رشه به ترتیب  $1/83 \pm 0/04$ ،  $1/52 \pm 0/38$  و  $20/74 \pm 0/44$  درصد و در برگ قزل اوزوم به ترتیب  $0/85 \pm 0/01$ ،  $0/85 \pm 0/05$  و  $18/71 \pm 0/61$  درصد بود. به عنوان نتیجه کلی نتایج نشان داد برگ انگور رقم رشه از نظر تمام ویژگی‌های بررسی شده بیشتر از برگ انگور رقم قزل اوزوم بود ( $p < 0/05$ ). همچنین این تحقیق نشان داد برگ‌های انگور از نظر ترکیبات فنولی و ضد اکسایش‌های طبیعی غنی هستند و پتانسیل استفاده در صنایع غذایی و دارویی را دارند.

DOI: 10.52547/fsct.18.02.01

\* مسئول مکاتبات:

ghanbari66@uma.ac.ir

است، که در فرمولاسیون مکمل‌های ضد اکسایشی دارویی مورد استفاده قرار می‌گیرند [۹-۱۳]. علاوه بر این، برگ‌های انگور دارای طعمی دلپذیر بوده و می‌توانند به عنوان یک ماده غذایی تازه و یا پخته (در دلمه برگ انگور) استفاده شوند [۱۴]. ترکیب شیمیایی قسمت‌های مختلف گیاهان بسیار تحت تأثیر تنوع رقم، درجه بلوغ، شرایط آب و هوایی و استرس قرار دارد [۱۵]. انگور یکی از میوه‌هایی است که کشت و تولید آن در کشورمان از سابقه بسیار طولانی برخوردار است، به طوری که ایران یکی از سرزمین‌های اولیه کشت انگور در جهان به شمار می‌آید. از اینرو امروزه در اکثر نقاط کشور از نواحی سردسیر شمال تا حاشیه کویر و همچنین مناطق جنوب، کشت انگور معمول می‌باشد. علاوه بر این، انگور به طور وحشی و به مقدار فراوان در جنگلهای ایران وجود دارد [۱۶]. اثرات ضد اکسایشی، ضد میکروبی، ضد سرطانی و ضد التهابی از ویژگی‌های بسیار مهم عصاره قسمت‌های مختلف گیاه انگور از جمله هسته آن بوده که در مطالعات بسیاری مورد بررسی قرار گرفته است [۱۵].

قزل اوزوم رقمی است که بیشتر در استان آذربایجان غربی پرورش داده می‌شود. میوه آن دیررس بوده و به صورت تازه خوری مصرف می‌شود زیرا بسیار مناسب نگهداری در سردخانه است [۱۶]. رشه یکی از مهمترین ارقام انگور دیم کشور است که در سطح وسیع در جنوب استان آذربایجان غربی، و همچنین استان‌های کردستان و کرمانشاه کشت می‌شود. با توجه به اینکه برگ انگور به عنوان غذا سنتی در رژیم غذایی مردم استان آذربایجان غربی مورد استفاده قرار می‌گیرد. همچنین با توجه به اهمیت این دو رقم در استان و از آنجا که در سال‌های اخیر توجه به ویژگی‌های عملکردی مواد غذایی بسیار افزایش یافته است. مطالعه وجود ترکیبات فنولی و پتانسیل ضد اکسایشی در فرآورده‌های غذایی می‌تواند از نظر تغذیه‌ای و هم از دیدگاه اقتصادی بسیار با ارزش باشد. از اینرو، هدف پژوهش حاضر بررسی و مقایسه محتوای ترکیبات فنولی و فعالیت آنتی اکسیدانی برگ انگور ارقام رشه و قزل اوزوم تولید شده به روش کشت بافت (شرایط درون شیشه‌ای آزمایشگاهی) می‌باشد.

## ۱- مقدمه

طی ۱۰ سال گذشته موج جدیدی در فناوری کشت سلول‌های گیاهی جهت تولید محصولات غذایی طبیعی پایدار ایجاد شده است. از اینرو محصولات بر پایه عصاره‌های حاصل از کشت سلول‌های گیاهی وارد صنایع غذایی، دارویی و بهداشتی شده اند که با کشت‌های درون شیشه‌ای سلول‌های گیاهی تولید می‌شوند. با توجه به افزایش تقاضای بازار به محصولات جدید حاصل از گیاهان، کشت آزمایشگاهی به تکنیکی قابل استفاده برای تولید اینو ب مواد گیاهی تبدیل شده است. علاوه بر این، این تکنیک پتانسیل زیادی برای تولید ترکیبات زیست فعال گیاهی دارد، زیرا امکان دستکاری مسیرهای بیوسنتزی برای افزایش تولید و تجمع ترکیبات خاص را بوجود آورده. با در نظر گرفتن اهمیت ترکیبات فنولی برای سلامت مصرف کنندگان، مطالعه تولید این ترکیبات گیاهی در کشت آزمایشگاهی جهت افزایش تولید بسیار مورد توجه است [۳-۱].

ترکیبات فنولی نقش مهمی در فرآیندهای فیزیولوژیکی گیاه دارند. همچنین این ترکیبات در افزایش تحمل گیاهان به تنش دارای اهمیت زیادی هستند. ترکیبات فنولی بسیار متنوع بوده و یکی از مهمترین متابولیت‌های ثانویه گیاهان هستند. آنتوسبانین‌های مختلف، مشتقات کورستین، کائمهپرول و استیلبنوئیدها از انواع مختلف ترکیبات فنولی هستند. انگور (*Vitis vinifera L.*) طی گستره‌ای از ترکیبات فنولی را در مقادیر قابل توجه تولید می‌کند [۴ و ۵]. بسیاری از مطالعات شواهدی ارائه داده‌اند که نشان می‌دهد این ترکیبات دارای اثرات محافظتی و تقویت کننده سلامتی برای انسان هستند. اعتقاد بر این است که اثرات مفید ترکیبات فنولیک ناشی از فعالیت ضد اکسایشی و ظرفیت به دام اندازی رادیکال‌های آزاد است. بنابراین این ترکیبات از ماکرومول‌های اساسی مانند پروتئین‌های ساختاری و آنزیم‌ها، اسیدهای نوکلئیک، لیپوپروتئین‌ها و چربی‌های غشایی در برابر اکسیداسیون توسط رادیکال‌های آزاد محافظت می‌کنند [۶-۸].

تأثیرات مفید مصرف انگور بر سلامت انسان به خوبی اثبات شده است. همچنین علاقه زیادی به سایر قسمت‌های خوراکی گیاه انگور وجود دارد، زیرا دارای ارزش غذایی بالایی هستند. اثرات زیست فعالی و خواص دارویی در تمام قسمت‌های گیاهان، به ویژه ریشه، ساقه، شاخساره و برگ نسبت داده شده

برگ‌ها به طور جداگانه با نیتروژن مایع خرد شد و ۲ g پودر همگن برگ‌ها برای استخراج ترکیبات پلی فنول با ۵۰ ml محلول متانولی (۷۰٪ v/v) حل شد و سپس در حمام اولتراسونیک در دمای اتاق به مدت ۶۰ min قرار گرفت. سپس عصاره‌ها در g × ۱۰,۰۰۰ در ۴°C به مدت ۱۰ min سانتریفیوژ شدند. در نهایت قبل از انجام هر آزمون مایع رویی بلافالصله از طریق فیلتر سر سُرنگی ۰/۴۵ μm فیلتر شد [۱۸].

#### ۴- تعیین ترکیبات فنولی توسط دستگاه

##### کروماتوگرافی مایع با عملکرد بالا (HPLC)

برای این منظور ۱۰ ml از عصاره به ۲۰ ml متانول اضافه شده و درون شیکر به مدت ۱۸۰ min با سرعت ۱۲۰ rpm قرار داده شد. سپس برای تغییض نمونه درون روتاری اوایپراتور در دمای ۴۵°C درجه سانتی‌گراد با سرعت ۶۰۰ rpm قرار گرفت. محلول به دست آمده به سیله فیلتر سر سُرنگی ۰/۲۲ μm صاف گردید و سپس همراه متانول به دستگاه HPLC (HP 1100, Agilent, Waldbronn, Germany) تزریق شد. سیستم گردایانت با سرعت جریان ۱ ml/min و ترکیب فاز متحرک آب - متانول با نسبت ۹۵ به ۵ بود. نوع ستون مورد استفاده C18، طول ستون ۲۵ cm، قطر ستون ۴/۶ mm و اندازه ذرات پایه ۵ μm بود و حجم هر تزریق برابر ۱۰ ml بود. آزمایش در دمای ۲۵°C انجام شد و آشکارساز فرابینفس در طول موج ۲۸۰ nm مورد استفاده گردید. غلظت ترکیبات فنلی براساس غلظت نمونه تزریق شده نسبت به وزن اولیه نمونه با استفاده از نرم افزار Chroma Gate به دست آمد [۱۸].

#### ۵- آزمون طیف سنجی تبدیل فوریه

##### فروسرخ (FTIR)

برای این منظور، ۱ mg پودر برگ انگور با ۲۰۰ mg پتاسیم برمید مخلوط شده و توسط یک پرس هیدرولیک به FTIR صورت یک قرص شکل داده می‌شود. طیف‌های Bruker TENSOR 27، FT-IR (Bruker Optik, Ettlingen, Germany) در محدوده ۵۰۰-۴۰۰۰ cm<sup>-1</sup> بدست آمد [۱۹].

#### ۶- اندازه گیری محتوای فنل کل

برای این منظور از روش Zareei و همکاران (۲۰۱۹) استفاده گردید. ۱ ml از عصاره استخراجی برداشته و به آن ۹ ml آب

## ۲- مواد و روش‌ها

### ۲-۱- مواد مورد استفاده

به منظور انجام این پژوهش، ارقام رش و قزل اوزوم از سایت کهریز مرکز تحقیقات و آموزش کشاورزی استان آذربایجان غربی واقع در ۴۵ کیلومتری شهر ارومیه دریافت شد. ۱، - دی فنیل -۲ - پیکریل هیدرازیل، معرف فولین - سیوکالتو، اسید گالیک و کوئرستین از شرکت سیگما (سنت لوئیز، میسوری، ایالات متحده آمریکا) خریداری شد. استانداردهای سیناپینیک اسید، پی کوماریک اسید، وانیلیک اسید، گالیک اسید، سیرینجیک اسید، روتین، کاتچین، اپی کاتچین، گالوکاتچین و اپی گالوکاتچین از شرکت سیگما (سنت لوئیز، میسوری، ایالات متحده آمریکا) خریداری شد. سایر مواد شیمیابی و استانداردهای مورد استفاده با خلوص آزمایشگاهی بوده و از شرکت مرك (Darmstadt, آلمان) تهیه شدند.

### ۲-۲- کشت بافت و آماده سازی نمونه‌ها

جهت کشت درون شیشه‌ای، ابتدا نمونه‌های قلمه ارقام انگور مورد مطالعه که قطر نیم سانتی‌متر و دارای سه جوانه بودند انتخاب شدند. سپس قلمه‌ها در گلخانه با دمای ۲۱°C و رطوبت ۷۰٪ در داخل پرلیت کشت شدند. سپس جوانه‌ی انتهایی شاخه‌های تولید شده در داخل محیط کشت موراشینگ اسکوک (MS) حاوی ۰/۲ mg ایندول بوتیریک اسید، mg ۲۰۰ زغال فعال کشت شده (پنج شیشه حاوی ۵ جوانه برای هر رقم) و به اتاق رشد با دمای ۲۵-۲۰°C و رطوبت نسبی ۸۰٪ و مدت زمان ۱۶ ساعت روشناختی (۸۰ لوكس) و ۸ ساعت تاریکی انتقال داده شدند تا شاخه‌ای به اندازه ۵ cm ۶ سانتی‌متری تولید نمودند. این جوانه‌های رشد کرده در محیط MS قطعه قطعه شده و واکشت شدند تا تعداد کافی گیاهچه تولید شود. گیاهچه‌های تولید شده به محیط کشت MS متقل شدند به طوری که برای هر رقم ۱۵ گیاهچه در ۳ گلدان کشت شد. در نهایت بعد از یک ماه، گیاهچه‌ها برای انجام آزمایشات مورد استفاده قرار گرفتند [۱۷].

### ۲-۳- استخراج عصاره برای تعیین ترکیبات

#### فنولی

مطابق روش Bistgani و همکاران (۲۰۱۹)، با اصلاح جزئی استخراج پلی فنول از برگ‌های ارقام انگور شد. نمونه

که در آن  $M_w$  برابر  $449/2 \text{ g/mol}$  گرم بر مول، وزن مولکولی سیانیدین-۳-گلوکوزید، DF ضریب رقت، L برابر  $1 \text{ cm}$  طول مسیر سلول و ε برابر  $26900 \text{ L/mol.cm}$  جذب مولی سیانیدین-۳-گلوکرید است. A تفاوت جذب آنتوسیانین در دو محیط مختلف است که به صورت زیر محاسبه می شود:

$$A = (A_{510} - A_{700}) \text{ pH}_{1.0} - (A_{510} - A_{700}) \text{ pH}_{4.5}$$

## ۹-۲- اندازه گیری کاروتنوئید

برای اندازه گیری رنگریزه های کلروفیلی و کاروتنوئید از روش Bistgani و همکاران (۲۰۱۹) و Asadi و همکاران (۲۰۲۰) استفاده شد. g/۱ از نمونه به همراه ml ۵ استون ۱۰۰٪ در هاون چینی ساییده شد. عصاره ای حاصل به مدت ۱۰ min در  $3000 \times g$  در دمای  $4^{\circ}\text{C}$  سانتریوفوژ شد. سپس جذب فاز بالای هریک از نمونه های سانتریوفوژ شده توسط اسپکتروفوتومتر در طول موج های nm ۴۳۰، ۶۴۵ و ۴۵۰ این منظور، g/۰.۵ از نمونه به همراه ml ۱/۵ آب دیونیزه رقیق شد. سپس ml ۰.۵ از نمونه رقیق شده برداشته ml ۱/۵ اتانول M ۰.۱ ml آلومینیوم کلراید ۰.۱٪، ml ۰.۱ استات پتاسیم ۱ و ml ۲/۸ آب دیونیزه اضافه شد. مخلوط حاصل به مدت ۴۵ min در دمای آزمایشگاه انکوبه گردید. سپس جذب نمونه ها در nm ۵۱۰ با استفاده از دستگاه اسپکتروفوتومتر خوانده شد. جهت تعیین میزان فلاونوئید کل، منحنی استاندارد بر حسب میزان کوئرستین موجود در یک گرم وزن تر با استفاده از منحنی استاندارد کوئرستین  $y = 217.87x + 0.0582$  محاسبه شد [۵].

$$C_{x+c} = \frac{1000 A_{430} - 2.27 Chl_a - 81.40 chl_b}{227}$$

## ۱۰-۲- اندازه گیری درصد مهار رادیکال آزاد

### ۱۰-۲-۱- فنیل-۲-پیکریلیدرازیل (DPPH)

توانایی احیاء الکترون عصاره ها به وسیله بی رنگ شدن محلول بنفش رنگ ۱۰-۲- دی فنیل-۲- پیکریل هیدرازیل مطابق روش Kalantari و همکاران (۲۰۲۰) اندازه گیری گردید. برای این منظور به  $\mu\text{L}$  ۵۰ از نمونه میزان ml ۱ محلول متانولی  $2\text{mM}$  DPPH اضافه شد. سپس به مدت ۱ min رویی به مدت ۲۴ ساعت در تاریکی و در دمای آزمایشگاه نگهداری شد بعد از ۲۴ ساعت جذب هر یک از نمونه ها در طول موج nm ۵۱۰ و nm ۷۰۰ توسط دستگاه اسپکتروفوتومتر خوانده شد [۵]. برای محاسبه غلظت آنتوسیانین از فرمول زیر استفاده شد:

مقدار ml ۱ معرف فولین-سیوکالتو اضافه شد. بعد از ۵ به آن ml ۱۰ کربنات سدیم ۷٪ اضافه گردید و به مدت ۶۰ min در دمای اتاق انکوبه شد. سپس جذب هر یک از نمونه ها در طول موج nm ۷۵۵ با استفاده از دستگاه اسپکتروفوتومتر (مدل UV/Vis 2100) خوانده شد. محتوای فلاونوئید کل بر حسب گالیک اسید در گرم وزن تر با استفاده منحنی استاندارد گالیک اسید  $y = 0.0013x + 0.0071$  محاسبه شد [۵].

## ۷-۲- اندازه گیری محتوای فلاونوئید کل

محتوای فلاونوئید کل طبق روش Zareei و همکاران (۲۰۱۹)، بر مبنای رنگ سنجی آلومینیوم اندازه گیری شد. برای این منظور، g/۰.۱ از نمونه به همراه ml ۱ آب دیونیزه رقیق شد. سپس ml ۰.۵ از نمونه رقیق شده برداشته ml ۱/۵ اتانول M ۰.۱ ml آلومینیوم کلراید ۰.۱٪، ml ۰.۱ استات پتاسیم ۱ و ml ۲/۸ آب دیونیزه اضافه شد. مخلوط حاصل به مدت ۴۵ min در دمای آزمایشگاه انکوبه گردید. سپس جذب نمونه ها در nm ۵۱۰ با استفاده از دستگاه اسپکتروفوتومتر خوانده شد. جهت تعیین میزان فلاونوئید کل، منحنی استاندارد بر حسب میزان کوئرستین موجود در یک گرم وزن تر با استفاده از منحنی استاندارد کوئرستین  $y = 217.87x + 0.0582$  محاسبه شد [۵].

## ۸-۲- اندازه گیری محتوای آنتوسیانین کل

محتوای آنتوسیانین کل در نمونه ها طبق روش Zareei و همکاران (۲۰۱۹) اندازه گیری شد. برای این منظور g/۰.۱ از نمونه به همراه ml ۱۰ متانول اسیدی (شامل ۹۹٪ متانول و ۱٪ اسید کلریدریک) هم زده شد. سپس عصاره حاصل به مدت ۱۰ min در g ۶۰۰۰  $\times$  در  $4^{\circ}\text{C}$  سانتریوفوژ شد. فاز رویی به مدت ۲۴ ساعت در تاریکی و در دمای آزمایشگاه نگهداری شد بعد از ۲۴ ساعت جذب هر یک از نمونه ها در طول موج nm ۵۱۰ و nm ۷۰۰ توسط دستگاه اسپکتروفوتومتر خوانده شد [۵]. برای محاسبه غلظت آنتوسیانین از فرمول زیر استفاده شد:

$$\text{Total anthocyanin}(\text{mg.g}^{-1} \text{ FW}) =$$

$$\frac{A \times MW \times DF \times 1000}{\epsilon \times L}$$

1. Fresh weight (FW)

$$\text{Free radical scavenging activity (\%)} = \frac{A_{Reference} - A_{Sample}}{A_{Reference}} \times 100$$

تکنیک کروماتوگرافی مایع با کارابی بالا (HPLC) روش مرسوم و مناسب برای جداسازی و اندازه‌گیری ترکیبات طبیعی مانند پلی فنول‌ها می‌باشد. در بررسی منابع جهت جداسازی و تعیین ترکیبات فنولی از روش‌های متفاوت استخراج و شرایط مختلف دستگاهی استفاده شده است و نکته مهم و اساسی در تمامی روش‌ها استفاده از استاندارد و تعیین مقادیر ترکیبات فنولی با استفاده از منحنی کالیبراسیون برای هر ماده و زمان بازداری نسبی آن‌ها است [۲۴]. جهت شناسایی و تعیین کمیت ترکیبات فنولی موجود در عصاره برگ انگورهای رقم رشه و قزل اوزوم از دستگاه HPLC مجهز به آشکارساز UV بر اساس ۱۱ استاندارد موجود استفاده شد (شکل ۱). نتایج نشان داد در عصاره برگ رشه ده ترکیب پلی فنولی، یعنی پنج اسید فنولیک (سینپینیک، پی کوماریک، وانیلیک، گالیک و سیرینجیک)، یک اسید فلاونوئیدها (روتین) و چهار فلاونوئید (کاتچین، اپی کاتچین، گالوکاتچین و اپی گالوکاتچین) شناسایی شد که مقادیر محاسبه شده از هر ترکیب آن‌ها در جدول ۱ آورده شده است. همچنین در عصاره برگ رقم قزل اوزوم هشت ترکیب پلی فنولی، شامل سه اسید فنولیک (پی کوماریک، وانیلیک و گالیک)، یک اسید فلاونوئیدها (روتین) و چهار فلاونوئید (کاتچین، اپی کاتچین، گالوکاتچین و اپی گالوکاتچین) شناسایی شد (جدول ۱). با توجه به نتایج، در عصاره برگ انگور رقم رشه بیشترین مقدار مربوط به اسید سینپیک (۹۵ میلی گرم در کیلوگرم) بود و کمترین مقدار مربوط به اپی کاتچین (۸ mg/kg) بود. عصاره حاصل از برگ رقم قزل اوزوم قادر اسید سینپیک و اسید سیرینجیک بود و بیشترین و کمترین ترکیب فنولیک آن به ترتیب گالوکاتچین متشر شده توسط Schoedl و همکاران (۲۰۱۱)، برگ‌های انگور Riesling حاوی غلظت بیشتری از پلی فنول‌های مورد بررسی نسبت به برگ‌های انگور Pinot Noir بود [۲۵]. میزان ترکیبات فلاونوئیدی (کاتچین، اپی کاتچین، گالوکاتچین و اپی گالوکاتچین) به دست آمده در تحقیق حاضر با نتایج Pantelic' و همکاران (۲۰۱۷)، که ترکیبات فنولی ۲۲ رقم انگور را مورد بررسی قرار دادند، مطابقت داشت [۱۵].

## ۱۱-۲- میزان مهار رادیکال هیدروکسیل (OH<sup>-</sup>)

برای این منظور مطابق روش Pirsa و همکاران (۲۰۲۰)، ۱ ml محلول نمونه با ۲ ml (۱/۸ Mm) FeSO<sub>4</sub>، ۱/۵ ml (۱/۸ Mm) H<sub>2</sub>O<sub>2</sub> (۷/۷٪) و ۱/۵ ml (۱/۸ Mm) سالیسیلیک اسید مخلوط شد. پس از آن محلول به شدت مخلوط شده و در دمای اتاق به مدت ۳۰ min ۴۰۰ °C به مدت ۵ min سانتریفیوژ شد و جذب محلول رویی در ۵۱۰ nm توسط دستگاه اسپکتروفوتومتر (مدل UV/Vis 2100) اندازه گیری گردید. فعالیت رادیکال‌های هیدروکسیل با استفاده از معادله زیر محاسبه گردید:

$$\text{Hydroxyl radicals scavenging activity (\%)} = \frac{(A_b - A_c)}{(A_b - A_a)} \times 100$$

از آنجا که جذب محلول حاوی یک نمونه از یک غلظت خاص است، جذب محلول در جایگزینی اسید سالیسیلیک با آب مقطر، A<sub>b</sub> است. جذب محلول حاوی H<sub>2</sub>O<sub>2</sub> به عنوان کنترل است [۲۲].

## ۱۲-۲- اندازه گیری اسید آسکوربیک

غلظت اسید آسکوربیک مطابق روش Zadeh و همکاران (۲۰۲۰)، به روش اسپکترومتری در ۵۱۵ nm اندازه گیری شد. برای این منظور یک منحنی کالیبراسیون (y = 2.4704x + 0.0005, R<sup>2</sup> = 0.9723) با اسکوربیک اسید تهیه شد و نتایج به دست آمده حسب از میکروگرم بر گرم وزن عصاره بیان شد [۲۳].

## ۱۳-۲- آنالیز آماری

پژوهش حاضر در قالب طرح آماری کاملاً تصادفی با ۵ تکرار برای عصاره برگ انگور هر رقم و ۳ تکرار در اندازه گیری هر آزمایش انجام شد. مقایسات میانگین داده‌های به دست آمده با آزمون t- استیودنت و با استفاده از نرم افزار آماری Minitab نسخه ۱۸ در سطح احتمال ۵ درصد انجام شد.

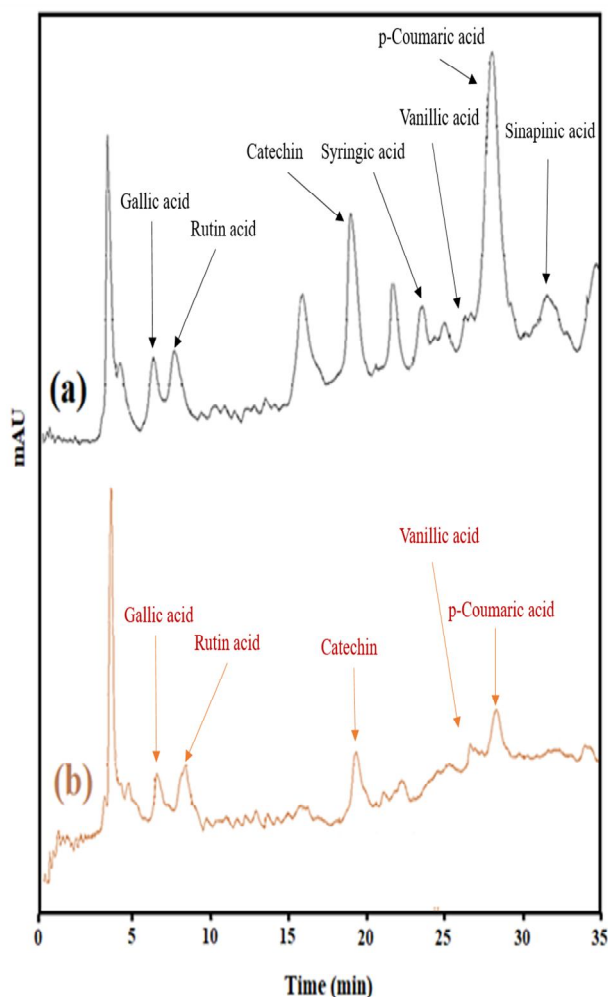
## ۳- نتایج و بحث

### ۳-۱- تعیین ترکیبات فنولی با استفاده از

HPLC

## ۲-۳- تعیین گروههای عاملی توسط FTIR

آزمون FTIR با نشان دادن لرزش‌های مولکولی (کشش، خم شدن و چرخش پیوندهای شیمیایی) یک ویژگی مشخصه از مواد شیمیایی یا بیوشیمیایی موجود در یک نمونه را فراهم می‌کند. بنابراین، می‌توان گفت که طیف FTIR نشان دهنده اثر انگشت مولکولی نمونه است [۲۶]. طیف‌های حاصل از نمونه‌های عصاره انگور ارقام رشه و قزل اوزوم در شکل ۲ نشان داده شده است. پیک‌های زیادی قابل مشاهده است که مربوط به گروههای عاملی و حالت‌های ارتعاش اجزای مختلف است. باند پهن در حدود  $3250\text{ cm}^{-1}$  ناشی از پیوند کششی OH است، می‌تواند به پلی ساکاریدها و یا لیگنین نسبت داده شود. پیک در  $3000\text{ cm}^{-1}$  مربوط به لرزش کششی پیوند C-H گروه (=CH) است. ارتعاشات کشش نامتقارن و متقارن گروه CH<sub>2</sub> به ترتیب در  $2915\text{ cm}^{-1}$  و  $2880\text{ cm}^{-1}$  یافت می‌شود. آنها به طور عمده با زنجیره‌های هیدروکربنی لیپیدها یا لیگنین در ارتباط هستند. پیک طیفی در  $1745\text{ cm}^{-1}$  و پیک در  $1709\text{ cm}^{-1}$  به جذب پیوندهای C=O گروههای استر C=OO<sup>-</sup> و گروههای OH ترکیبات فنولی است، که با ارتعاشات خمشی گروههای پیک‌های مختلف کششی، خمشی، لرزشی و چرخشش غنی است [۱۹]. این منطقه از یک سو دارای اطلاعات بسیار زیادی است، اما از سوی دیگر، به دلیل پیچیدگی‌های آن، تجزیه و تحلیل در این زمینه ضروری است. این منطقه اطلاعات مهمی در مورد ترکیبات آلی مانند اسیدهای آلی موجود در نمونه ارائه می‌دهد. کشش C-C در  $1510\text{ cm}^{-1}$  و  $1433\text{ cm}^{-1}$  مربوط به ترکیبات فنولی است. پیک در  $1123\text{ cm}^{-1}$  مربوط به کشش C-H ترکیبات معطر و پیک در  $780\text{ cm}^{-1}$  ناشی از تکان خوردن CH<sub>2</sub> است که هر دو در ترکیبات فنولی وجود دارد.



**Fig 1** Chromatogram of phenolic compounds profile in leaf extract of (a) Rasha cultivar and (b) Qzel Ozum cultivar

**Table 1** Values related to phenolic compounds in the studied samples

No	Phenolic compounds ( $\text{mg.kg}^{-1} \text{ DW}$ )	Cultivars	
		Rasha	Qzel Ozum
1	Ferolic acid	-	-
2	Sinapinic acid	95	-
3	p-Coumaric acid	35	58
4	Vanillic acid	40	40
5	Rutin acid	25	25
6	Gallic acid	25	25
7	Syringic acid	18	-
8	Catechin	50	41
9	Epicatechin	5	9
10	Gallocatechin	32	64
11	Epigallocatechin	8	14

\* DW: Dry weight

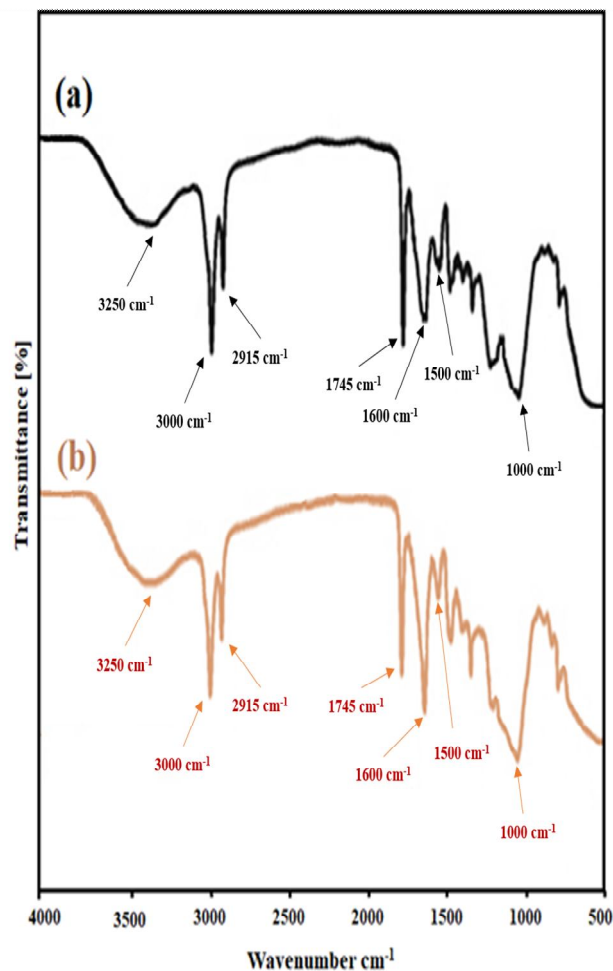
فنولی در عصاره برگ انگور رقم‌های رشه و قزل اوزوم به ترتیب  $50/35 \pm 0/10 \text{ mg GAE.g}^{-1} \text{ FW}$  و  $50/31 \pm 0/23 \text{ mg GAE.g}^{-1} \text{ FW}$  بود که با هم از نظر آماری اختلاف معنی دار داشتند ( $p < 0/05$ ). در تحقیقی که باقرقی و همکاران (۱۳۹۴) انجام داده و میزان ترکیبات فنولی در آب انگور سیاه سردشت و انگور قرمز ارومیه انجام دادند، نتایج مشابه به دست آمده و میزان ترکیبات فنولی آب انگور سیاه سردشت بیشتر بود [۳۱]. Altemimi و همکاران (۲۰۱۷)، گزارش کردند میزان ترکیبات پلی فنولی در ارقام وحشی بیشتر از ارقام اهلی است و چون رقم رشه یک رقم بومی است که بطور دیم کشت می‌شود در واقع نوعی رقم وحشی محسوب می‌شود [۲۴].

#### ۴-۳- محتوای فلاونوئید کل

فلاونوئیدها گروهی از ترکیبات فنولی هستند که دارای فعالیت ضد اکسایشی می‌باشند و میوه‌ها منابع مهم فلاونوئیدها هستند. این ترکیبات غالباً جهت حفاظت در برابر اشعه فرابنفش در گیاه سنتز می‌شوند. همجنین محتوای فلاونوئید کل می‌تواند تحت تأثیر تنوع گونه، شرایط آب و هوایی و جغرافیایی قرار می‌گیرد [۳۲ و ۳۳]. نتایج نشان داد میزان محتوای فلاونوئید کل در عصاره متابولی برگ انگور رقم رشه  $Q.g^{-1} \text{ FW} 29/72 \pm 0/05 \text{ mg}$  و در عصاره برگ انگور رقم قزل اوزوم  $Q.g^{-1} \text{ FW} 20/76 \pm 0/15 \text{ mg}$  بود که با هم اختلاف معنی دار داشتند ( $p < 0/05$ ). نتایج این پژوهش با نتایج باقرقی و همکاران (۱۳۹۴)، که میزان محتوای فلاونوئید کل را در آب انگور سیاه سردشت و انگور قرمز ارومیه بررسی کردند مشابه بود [۳۱].

#### ۵-۳- محتوای آنتوسیانین کل

آنتوسیانین‌ها گروهی از فلاونوئیدهای محلول در آب هستند که رنگ‌های صورتی به بنفش را در برگ‌ها و سایر اندام‌ها ایجاد می‌کنند. در برخی شرایط آزمایشگاهی، می‌توان آنتوسیانین را در برگ‌های قلمه انگور تولید کرد [۳۴]. نتایج نشان داد میزان محتوای آنتوسیانین کل در برگ انگور رقم رشه و رقم قزل اوزوم با هم اختلاف آماری داشتند ( $p < 0/05$ ). میزان آنتوسیانین کل در برگ انگور رقم‌های رشه و قزل اوزوم به ترتیب  $10/41 \pm 0/20 \text{ mg.g}^{-1} \text{ FW}$  و  $7/28 \pm 0/15 \text{ mg.g}^{-1} \text{ FW}$  بود. در تحقیق مشابه پنج آنتوسیانین مونوگلوكوزید در برگ‌های انگور noir Grenache شناسایی و اندازه



**Fig 2** The FTIR spectrum of leaf extract of (a) Rasha cultivar and (b) Qzel Ozum cultivar

#### ۳-۳- محتوای فنل کل

در میان ترکیبات ضد اکسایش طبیعی گوناگون با عملکردهای مختلف، ترکیبات فنولی به دلیل داشتن توانایی مهار رادیکال‌های آزاد، اهمیت بیشتری دارند [۲۷ و ۲۸]. این ترکیبات دارای ساختار ویژه بوده و از این‌رو توانایی مهار رادیکال‌های آزاد، شلاته کردن فلزات و مهار کردن گونه‌های فعال اکسیژن ناشی از تنش‌ها را در سیستم‌های زیستی دارند [۲۹ و ۳۰]. غالباً گیاهان مانند گیاهان دارویی اثرات ضد اکسایشی قوی دارند که این خواص ضد اکسایشی ناشی از ترکیبات فنولی است. اثرات سلامتی بخش ترکیبات فنولی برای انسان و نقش آنها در پیشگیری از برخی بیماری‌ها مانند سرطان اثبات شده است. به همین دلیل گیاهانی که مقادیر زیادی ترکیبات فنولی دارند از نظر مصرف کنندگان بسیار مورد توجه می‌باشند. بررسی منابع نشان می‌دهد عصاره‌های حاصل از قسمت‌های مختلف گیاه انگور از نظر ترکیبات فنولی غنی می‌باشند [۳۶]. نتایج نشان داد برگ‌های انگور غنی از ترکیبات فنولی است و میزان ترکیبات

مطابقت دارد که این گزارش کردنده فعالیت آنتی اکسیدانی عصاره‌های گیاهی می‌تواند تحت تاثیر ساختارهای متفاوت اسیدهای فنولیک و فلاونوئیدها و همچنین مشتقات این ترکیبات باشد. به عنوان مثال، فعالیت آنتی اکسیدانی اسیدهای فنولیک و مشتقات آن همانند استرهای، وابسته به تعداد گروه‌های هیدروکسیل در مولکول است [۳۴]. همچنین گزارش شده است که درصد مهار رادیکال‌های آزاد در عصاره مтанولی بیشتر از سایر حلال‌ها است [۲۴].

### ۸-۳- بررسی مهار رادیکال‌های آزاد OH<sup>-</sup>

رادیکال‌های هیدروکسیل با واکنش فتون در حضور فلزات احیا شده (مانند  $\text{Fe}^{2+}$ ) و  $\text{H}_2\text{O}_2$  تشکیل می‌شود، که از شناخته شده ترین ترکیبات واکنش پذیر فعال بوده باعث ایجاد آسیب سلولی در داخل بدن انسان می‌گردد. مهار رادیکال‌های هیدروکسیل به دلیل واکنش پذیری بسیار بالای آنها بسیار مهم است زیرا این رادیکال‌ها با طیف گسترده‌ای از مولکول‌های موجود در سلول‌های زنده مانند قندها، اسیدهای آمینه، لپیدها و نوکلئوتیدها واکنش می‌دهند. بنابراین، از بین بردن رادیکال‌های OH برای حفاظت از سیستم‌های سلول‌ها و بیومولکول‌های بدن بسیار مهم است [۳۷]. پتانسیل مهار رادیکال هیدروکسیل عصاره‌های مtanولی برگ‌های انگور رقم رشه و قزل اوزوم در جدول ۲ نشان داده شده است. عصاره برگ انگور رقم رشه دارای درصد مهار رادیکال‌های آزاد هیدروکسیل بیشتری نسبت به عصاره برگ رقم قزل اوزوم بود. بر اساس تحقیق Kang و Sowndhararajan (۲۰۱۲)، توانایی عصاره مtanولی در مهار رادیکال‌های هیدروکسیل بالاتر از سایر حلال‌ها بود [۳۸].

### ۹-۳- بررسی میزان آسکوربیک اسید

آسکوربات، آسکوربیک اسید یا ویتامین C یک ماده مغذی ضروری است که بطور گسترده بعنوان افزودنی غذایی، عمدتاً به دلیل ویژگی‌های احیاء کنندگی و ضد اکسایشی آن استفاده می‌شود [۳۹]. این ویتامین دارای بسیاری از ویژگی‌های درمانی و بیولوژیکی است و ضد اکسایشی مهم محسوب می‌شود. این ویتامین باعث افزایش کلاژن می‌شود، ایجاد حفاظت در مقابل نور می‌کند، ملانین و رادیکال‌های آزاد را کاهش می‌دهد و اینمی (اثرات ضد ویروسی) را افزایش می‌دهد. ویتامین C آسیب ناشی از رادیکال‌های آزاد بر روی پوست را کاهش می‌دهد، پیری را به تأخیر می‌اندازد و تشکیل ملانین را کاهش

گیری شدند [۳۵]. باقرقی و همکاران (۱۳۹۴) گزارش کردنده محتوای آنتوسیانین کل در آب انگور رشه بیشتر از آب انگور قزل اوزوم بود که با نتایج این تحقیق مطابقت دارد [۳۱ و ۳۲].

### ۶-۳- محتوای کارتوئید کل

کارتوئیدها گروهی از رنگدانه‌های طبیعی تراپسینوئید هستند که به طور گسترده در قسمت‌های مختلف گیاهان شامل گل‌ها، میوه‌ها و ریشه‌ها وجود دارند. میزان کارتوئیدها در گیاهان مختلف به طور گسترده مورد بررسی قرار گرفتند. این ترکیبات نقش مهمی در متabolیسم و فیزیولوژی گیاه دارند و در پاسخ به شرایط تش آبی تولید می‌شوند. کارتوئیدها همچنین برای سلامتی انسان از اهمیت ویژه‌ای برخوردار هستند زیرا دارای خواص تغذیه‌ای و دارویی هستند [۳۶]. بر اساس نتایج میزان محتوای کارتوئید کل در برگ انگور رقم رشه و رقم قزل اوزوم با هم اختلاف آماری داشتند ( $p < 0.05$ ) و به ترتیب  $1/82 \pm 0/50$  mg.g<sup>-1</sup> FW و  $0/94 \pm 0/42$  بود. نتایج حاصل از این تحقیق با نتایج بررسی‌های مشابه مطابقت داشت [۳۱ و ۳۳].

### ۷-۳- بررسی مهار رادیکال‌های آزاد DPPH

فعالیت مهار رادیکال‌های آزاد DPPH توسط عصاره مtanولی برگ‌های انگور ارقام ناشی از توانایی دادن هیدروژن و یا الکترون به رادیکال‌های آزاد DPPH می‌باشد که در نتیجه این واکنش، رادیکال‌های آزاد DPPH به ترکیب خنثی-H<sup>-</sup> تبدیل می‌شود. در عصاره هر دو رقم، تغییر رنگ از بنفش (رادیکال‌های آزاد) به زرد (خنثی) مشاهده شد [۳۷]. همانطور که در جدول ۲ مشاهده می‌شود مقادیر درصد مهار رادیکال‌های آزاد DPPH نمونه‌های مورد مطالعه به ترتیب برای عصاره برگ انگور رشه و عصاره مtanولی برگ رقم قزل اوزوم  $0/04 \pm 0/01$ ،  $1/83 \pm 0/05$  به دست آمد که از نظر آماری با هم اختلاف معنی دار داشتند ( $p < 0.05$ ). میزان مهار رادیکال‌های آزاد DPPH با توجه به میزان ترکیبات فنولی عصاره مtanولی حاصل از برگ ارقام رشه و قزل اوزوم کم بود که نشان دهنده‌ی این امر است که نوع ترکیب فنولی بیشتر از مقدار آن در فعالیت ضد اکسایشی نقش دارد. همچنین نتایج حاصله نشان داد همبستگی مثبت بین محتوای ترکیبات فنولی کل و فعالیت ضد اکسایشی وجود دارد. این نتایج با نتایج مطالعات مشابه از جمله Fraige و همکاران (۲۰۱۴)

آماری با هم اختلاف معنی دار داشتند ( $p<0.05$ ). نتایج تحقیق حاضر با نتایج گزارش شده در مطالعات پیشین مطابقت داشت [۳۱ و ۳۲].

می‌دهد [۳۹]. همانطور که در جدول ۲ نشان داده شده است، میزان آسکوربیک اسید در نمونه‌های مورد مطالعه به ترتیب برای عصاره برگ انگور رشه و عصاره متابولی برگ رقم قزل اوزوم  $68/96 \pm 3/61$ ،  $75/04 \pm 2/74$  درصد بود که از نظر

**Table 2** The results (Mean $\pm$ SD, n=5) of total phenol, total flavonoids, total anthocyanins, total caretenoids, antioxidant activities and ascorbic acid content of leaf extracts

Characteristics	Cultivars	
	Rasha	Qzel Ozum
Total phenolic compounds (mg GAE.g <sup>-1</sup> FW)	50.35 $\pm$ 0.10 <sup>a</sup>	23.06 $\pm$ 0.31 <sup>b</sup>
Total flavonoids (mg Q.g <sup>-1</sup> FW)	29.72 $\pm$ 0.05 <sup>a</sup>	20.76 $\pm$ 0.15 <sup>b</sup>
Total anthocyanins (mg.g <sup>-1</sup> FW)	10.41 $\pm$ 0.20 <sup>a</sup>	7.28 $\pm$ 0.15 <sup>b</sup>
Total caretenoids (mg.g <sup>-1</sup> FW)	1.82 $\pm$ 0.50 <sup>a</sup>	0.94 $\pm$ 0.42 <sup>b</sup>
DPPH FRSA (%)	1.83 $\pm$ 0.04 <sup>a</sup>	0.85 $\pm$ 0.01 <sup>b</sup>
OH <sup>-</sup> FRSA (%)	25.38 $\pm$ 1.52 <sup>a</sup>	18.71 $\pm$ 2.05 <sup>b</sup>
Ascorbic acid (μg.g <sup>-1</sup> FW)	75.04 $\pm$ 2.74 <sup>a</sup>	68.96 $\pm$ 3.61 <sup>b</sup>

\* Different letters in each row indicate a significant difference ( $p<0.05$ ).

\*\* mg GAE.g<sup>-1</sup> FW: mg of Gallic acid equivalent g<sup>-1</sup> FW, mg Q.g<sup>-1</sup> FW: mg of Quercetin equivalent g<sup>-1</sup> FW

## ۵- منابع

- [1] Eibl, R., Meier, P., Stutz, I., Schildberger, D., Hühn, T., & Eibl, D. (2018). Plant cell culture technology in the cosmetics and food industries: current state and future trends. *Applied Microbiology and Biotechnology*, 102(20), 8661-8675.
- [2] Ragavendran, C., & Natarajan, D. (2017). Role of Plant Tissue Culture for Improving the Food Security in India: A Review Update. In *Sustainable Agriculture towards Food Security* (pp. 231-262). Springer, Singapore.
- [3] Dias, M. I., Sousa, M. J., Alves, R. C., & Ferreira, I. C. (2016). Exploring plant tissue culture to improve the production of phenolic compounds: A review. *Industrial Crops and Products*, 82, 9-22.
- [4] Šuković, D., Knežević, B., Gašić, U., Sredojević, M., Ćirić, I., Todić, S., ... & Tešić, Ž. (2020). Phenolic profiles of leaves, grapes and of grapevine variety Vranac (*Vitis vinifera* L.) from Montenegro. *Foods*, 9(2), 138.
- [5] Zareei, E., Zaare-Nahandi, F., Oustan, S., & Hajilou, J. (2019). Effects of magnetic solutions on some biochemical properties and production of some phenolic compounds in grapevine (*Vitis vinifera* L.). *Scientia Horticulturae*, 253, 217-226.
- [6] Karaaslan, M., Ozden, M., Vardin, H., & Turkoglu, H. (2011). Phenolic fortification of

## ۴- نتیجه‌گیری

در تحقیق حاضر یک بررسی توصیفی از بروفاپل ترکیبات فنولیک، محتوای فنول کل، فلاونوئید کل، آنتوسیانین کل، کارتونئید کل و همچنین فعالیت ضد اکسایشی (به دو روش مهار رادیکال‌های آزاد DPPH و OH) و میزان آسکوربیک اسید موجود در برگ‌های دو رقم متفاوت انگور پر مصرف در استان آذربایجان غربی، که با استفاده از کشت بافت تولید شده بودند، به عنوان یک محصول غذایی سنتی است. نتایج این پژوهش نشان داد عصاره متابولی برگ انگور رشه از نظر تمام ویژگی‌های مورد مطالعه با اختلاف معنی داری بیشتر از عصاره متابولی انگور رقم قزل اوزوم بود. همچنین ترکیبات فنولیک، فلاونوئیدها، آنتوسیانین‌ها، کارتونئیدها، فعالیت ضد اکسایشی و ویتامین C موجود در عصاره متابولی برگ انگور رابطه مثبت و مطلوبی با هم داشتند. این مطالعه نشان دادن که نوع واریته می‌تواند در میزان ترکیبات پلی فنولی و فعالیت ضد اکسایشی تاثیر گذار باشد حتی اگر تحت شرایط یکسان تولید شده باشند. سرانجام این تحقیق نشان داد برگ‌های انگور منع خوبی از ضد اکسایش‌های طبیعی هستند و با توجه به ارزش غذایی بالا می‌توانند به عنوان مکمل در مواد غذایی و داروها استفاده شوند.

- Serbia. *Journal of Food Composition and Analysis*, 62, 76-83.
- [16] Rezazad Bari, L., Rezazad Bari, M., Ghasemnejhad, M., & Alizadeh khaledbad, M. (2015). Effect of titanium dioxide nanoparticles on three varieties of table grapes (Bidane Sefid, Gezel Ozom and Rish Baba) shelf life and controlling postharvest decay properties. *Journal of Food Research (Agricultural Science)*, Volume:24 Issue: 3 [In Persian].
- [17] Alizadeh, M., Singh, S. K., Patel, V. B., Bhattacharya, R. C., & Yadav, B. P. (2010). *In vitro* responses of grape rootstocks to NaCl. *Biologia Plantarum*, 54(2), 381-385.
- [18] Bistgani, Z. E., Hashemi, M., DaCosta, M., Craker, L., Maggi, F., & Morshedloo, M. R. (2019). Effect of salinity stress on the physiological characteristics, phenolic compounds and antioxidant activity of Thymus vulgaris L. and Thymus daenensis Celak. *Industrial Crops and Products*, 135, 311-320.
- [19] Lucarini, M., Durazzo, A., Kiefer, J., Santini, A., Lombardi-Boccia, G., Souto, E. B., ... & Bevilacqua, N. (2020). Grape seeds: Chromatographic profile of fatty acids and phenolic compounds and qualitative analysis by FTIR-ATR spectroscopy. *Foods*, 9(1), 10.
- [20] Asadi, S., & Pirsa, S. (2020). Production of Biodegradable Film Based on Polylactic Acid, Modified with Lycopene Pigment and TiO<sub>2</sub> and Studying Its Physicochemical Properties. *Journal of Polymers and the Environment*, 28(2), 433-444.
- [21] Kalantari, S., Roufegarinejad, L., Pirsa, S., & Gharekhani, M. (2020). Green extraction of bioactive compounds of pomegranate peel using  $\beta$ -Cyclodextrin and ultrasound. *Main Group Chemistry*, 19(1), 61-80.
- [22] Pirsa, S., Karimi Sani, I., Pirouzifard, M. K., & Erfani, A. (2020). Smart film based on chitosan/Melissa officinalis essences/pomegranate peel extract to detect cream cheeses spoilage. *Food Additives & Contaminants: Part A*, 37(4), 634-648.
- [23] ZADEH, M. N., PIRSA, S., AMIRI, S., & BARI, L. R. (2020). Application of the Edible Coating of Carboxy Methyl Cellulose/Pectin Composite Containing Humulus lupulus Extract on the Shelf Life of Fresh Cut Oranges at Cold Conditions. yogurt using grape and callus extracts. *LWT-Food Science and Technology*, 44(4), 1065-1072.
- [7] Durazzo, A., & Lucarini, M. (2019). The State of Science and Innovation of Bioactive Research and Applications, Health and Diseases. *Frontiers in Nutrition*, 6, 178.
- [8] Durazzo, A., Lucarini, M., Souto, E. B., Cicala, C., Caiazzo, E., Izzo, A. A., ... & Santini, A. (2019). Polyphenols: A concise overview on the chemistry, occurrence, and human health. *Phytotherapy Research*, 33(9), 2221-2243.
- [9] Burcova, Z., Kreps, F., Schmidt, S., Strizincova, P., Jablonsky, M., Kyselka, J., ... & Surina, I. (2019). Antioxidant Activity and the Tocopherol and Phenol Contents of Grape Residues. *BioResources*, 14(2), 4146-4156.
- [10] Ferhi, S., Santaniello, S., Zerizer, S., Cruciani, S., Fadda, A., Sanna, D., ... & D'hallewin, G. (2019). Total phenols from grape leaves counteract cell proliferation and modulate apoptosis-related gene expression in MCF-7 and HepG2 human cancer cell lines. *Molecules*, 24(3), 612.
- [11] Durante, M., Montefusco, A., Marrese, P. P., Soccio, M., Pastore, D., Piro, G., ... & Lenucci, M. S. (2017). Seeds of pomegranate, tomato and grapes: An underestimated source of natural bioactive molecules and antioxidants from agri-food by-products. *Journal of Food Composition and Analysis*, 63, 65-72.
- [12] Ismail, E. H., Khalil, M. M., Al Seif, F. A., El-Magdoub, F., Bent, A. N., Rahman, A., & Al, U. S. D. (2014). Biosynthesis of gold nanoparticles using extract of grape (*Vitis vinifera*) leaves and seeds. *Prog Nanotechnol Nanomater*, 3, 1-12.
- [13] Xu, C., Zhang, Y., Wang, J., & Lu, J. (2010). Extraction, distribution and characterisation of phenolic compounds and oil in grapseseds. *Food Chemistry*, 122(3), 688-694.
- [14] Secer, O. M., Guneser, B. A., & Guneser, O. (2020). Prediction of shelf-life and kinetics of quality changes in canned stuffed grape leaves. *LWT*, 109850.
- [15] Pantelić, M. M., Zagorac, D. Č. D., Ćirić, I. Ž., Pergal, M. V., Relić, D. J., Todić, S. R., & Natić, M. M. (2017). Phenolic profiles, antioxidant activity and minerals in leaves of different grapevine varieties grown in

- Sustainable Natural Resources, Tehran, Iran [In Persian].
- [32] Bagheri, N., Heidari, R., Ilkhanipour, M. & Amiri, S. (2015). Comparison of biochemical and antioxidant properties of Urmia red grape juice and Sardasht black grape juice. 4<sup>th</sup> National Conference on Agriculture and Sustainable Natural Resources, Tehran, Iran [In Persian].
- [33] Baneh, H. D., Attari, H., Hassani, A., & Abdollahi, R. (2013). Salinity effects on the physiological parameters and oxidative enzymatic activities of four Iranian grapevines (*Vitis vinifera* L.) cultivar. *International Journal of Agriculture and Crop Sciences (IJACS)*, 5(9), 1022-1027.
- [34] Fraige, K., Pereira-Filho, E. R., & Carrilho, E. (2014). Fingerprinting of anthocyanins from grapes produced in Brazil using HPLC-DAD-MS and exploratory analysis by principal component analysis. *Food Chemistry*, 145, 395-403.
- [35] Nabli, R., Achour, S., Jourdes, M., Teissedre, P. L., Helal, A. N., & Ezzili, B. (2012). Anthocyanin composition and extraction from Grenache noir (*Vitis vinifera* L.) vine leaf using an experimental design. I-By ethanol or sulfur dioxide. *OENO One*, 46(4), 295-304.
- [36] Mibei, E. K., Ambuko, J., Giovannoni, J. J., Onyango, A. N., & Owino, W. O. (2017). Carotenoid profiling of the leaves of selected African eggplant accessions subjected to drought stress. *Food Science & Nutrition*, 5(1), 113-122.
- [37] Pavithra, K., & Vadivukkarasi, S. (2015). Evaluation of free radical scavenging activity of various extracts of leaves from Kedrostis foetidissima (Jacq.) Cogn. *Food Science and Human Wellness*, 4(1), 42-46.
- [38] Sowndhararajan, K., & Kang, S. C. (2013). Free radical scavenging activity from different extracts of leaves of Bauhinia vahlii Wight & Arn. *Saudi journal of biological sciences*, 20(4), 319-325.
- [39] Wechtersbach, L., Ulrich, N. P., & Cigic, B. (2012). Liposomal stabilization of ascorbic acid in model systems and in food matrices. *LWT-food science and technology*, 45(1), 43-49.
- Iraninan Journal of Biosystem engeeniering*, 51, 471-484. [In Persian].
- [24] Altemimi, A., Lakhssassi, N., Baharlouei, A., Watson, D. G., & Lightfoot, D. A. (2017). Phytochemicals: Extraction, isolation, and identification of bioactive compounds from plant extracts. *Plants*, 6(4), 42.
- [25] Schoedl, K., Forneck, A., Sulyok, M., & Schuhmacher, R. (2011). Optimization, in-house validation, and application of a liquid chromatography-tandem mass spectrometry (LC-MS/MS)-based method for the quantification of selected polyphenolic compounds in leaves of grapevine (*Vitis vinifera* L.). *Journal of Agricultural and Food Chemistry*, 59(20), 10787-10794.
- [26] Mahesar, S. A., Lucarini, M., Durazzo, A., Santini, A., Lampe, A. I., & Kiefer, J. (2019). Application of Infrared Spectroscopy for Functional Compounds Evaluation in Olive Oil: A Current Snapshot. *Journal of Spectroscopy*, 2019.
- [27] Mohammadkhani, N. (2018). EFFECTS OF SALINITY ON PHENOLIC COMPOUNDS IN TOLERANT AND SENSITIVE GRAPES. *Poljoprivreda i Sumarstvo*, 64(2), 73-86.
- [28] Jogaiah, S., Ramteke, S. D., Sharma, J., & Upadhyay, A. K. (2014). Moisture and salinity stress induced changes in biochemical constituents and water relations of different grape rootstock cultivars. *International Journal of Agronomy*, 2014.
- [29] Sharma, A., Shahzad, B., Rehman, A., Bhardwaj, R., Landi, M., & Zheng, B. (2019). Response of phenylpropanoid pathway and the role of polyphenols in plants under abiotic stress. *Molecules*, 24(13), 2452.
- [30] Rizk, M. Z., Borai, I. H., Ezz, M. K., El-Sherbiny, M., Aly, H. F., Matloub, A., & Fouad, G. I. (2018). Possible therapeutic role of grape (*Vitis vinifera*) leaves polyphenolic extract in the regression of aluminium-induced Alzheimer's disease in rats. *Journal of Materials and Environmental Science*, 9(7), 2098-2108.
- [31] Bagheri, N., Heidari, R., Amiri, S. & Bagheri, N. (2015). Quantitative and qualitative comparison of red grape juice of Urmia and black grape juice of Sardasht. 4<sup>th</sup> National Conference on Agriculture and



## Comparison of phenolic compounds and antioxidant activity of two grapevine root cultivars Rasha and Qzel Ozum

**Rezazad Bari, L.<sup>1</sup>, Ghanbari, A.<sup>2\*</sup>, Darvishzadeh, R.<sup>3</sup>, Torabi Giglou, M.<sup>4</sup>, Doulati Baneh, H.<sup>5</sup>**

1. PhD Student of Physiology and Breeding of Fruit Trees, Department of Horticulture, Faculty of Agriculture and Natural Resources, Mohaghegh Ardebili University, Ardabil, Iran.
2. Associate Professor, Department of Horticultural Sciences, Faculty of Agriculture and Natural Resources, Mohaghegh Ardebili University, Ardabil, Iran.
3. Professor, Department of Agricultural Biotechnology, Faculty of Agriculture and Natural Resources, Urmia University, Urmia, Iran.
4. Assistant Professor, Department of Horticultural Sciences, Faculty of Agriculture and Natural Resources, Mohaghegh Ardebili University, Ardabil, Iran.
5. Associate Professor, Agricultural Jihad Research and Training Center, West Azarbaijan Province, Urmia, Iran.

**ARTICLE INFO****ABSTRACT****Article History:**

Received 15 July 2020  
Accepted 4 October 2020

**Keywords:**

Tissue culture,  
Plant secondary  
metabolites,  
Natural additive,  
Grapvine

**DOI:** [10.52547/fsct.18.02.01](https://doi.org/10.52547/fsct.18.02.01)

\*Corresponding Author E-Mail:  
[ghanbari66@uma.ac.ir](mailto:ghanbari66@uma.ac.ir)

Nowadays, the use of tissue culture technique in the production of plant secondary metabolites, such as phenolic compounds, as a natural food additive has become very widespread in the food industry. The aim of this study was to investigate and compare the content of phenolic compounds and antioxidant activity of grapevine Rasha and Qzel Ozum cultivars that were produced by tissue culture under *in vitro* condition. For this purpose, the terminal buds of grape cultivars were cultured in Murashige - Skoog Medium to produce complete seedlings. Then the methanolic extract was prepared from healthy grapevine leaves and to perform polyphenol composition tests using high performance liquid chromatography with ultraviolet detector, functional groups using Fourier-transform infrared spectroscopy, total phenol content, total flavonoids, total anthocyanins, total carotenoids, acid content, ascorbic acid, free radical scavenging 2,2-diphenyl-1-picrylhydrazyl (DPPH), and hydroxyl ( $\text{OH}^-$ ). The results showed that the amount of total phenolic compounds, total flavonoids, total anthocyanin and total carotenoids of methanolic extracts of Rasha cultivar were  $50.35 \pm 0.10$ ,  $29.72 \pm 0.05$ ,  $10.41 \pm 0.20$ , and  $1.82 \pm 0.50$  mg/g, respectively, and in Qzel Ozum cultivar were  $23.06 \pm 0.31$ ,  $20.76 \pm 0.15$ ,  $7.28 \pm 0.15$ , and  $94.94 \pm 0.42$  mg/g, respectively. Ascorbic acid, DPPH and  $\text{OH}^-$  free radicals scavenging activity in methanolic extracts of Rasha leaves were  $1.83 \pm 0.04$ ,  $25.38 \pm 1.52$ , and  $75.04 \pm 2.74$  %, respectively, and in Qzel Ozum leaves were  $0.85 \pm 0.01$ ,  $18.71 \pm 2.05$  and  $68.96 \pm 3.61$  %, respectively. As a general result, the results showed that the grape leaves of the Rasha cultivar were more than the grapevine leaves of Qzel Ozum cultivar in terms of all studied characteristics ( $p < 0.05$ ). This study also showed that grape leaves are rich in phenolic compounds and natural antioxidants and have the potential to be used in the food and pharmaceutical industries.